

کنترل اینورتر متصل به شبکه با قابلیت جبران‌سازی هارمونیک‌ها در چارچوب ساکن

مهندی شاهپرستی، مصطفی محمدیان و علی یزدیان ورجانی

روش عموماً حلقه داخلی جریان با پهنهای باند بزرگ طراحی می‌شود که این امر منجر به ردیابی دقیق، کاهش زمان پاسخ گذرا و بهره‌گیری از GC-VSI به صورت یک منبع جریان با پهنهای باند حلقه جریان می‌گردد. اگر حلقه جریان با پهنهای باند بزرگ طراحی شود آن گاه قطب‌های غالب بسیار حساس به عدم قطعیت‌های امیدانس واسط خواهد شد. ناپایداری حلقه جریان منجر به اشیاع مدولاتور عرض پالس و نوسانی شدن جریان تزریقی می‌گردد که به آن ناپایداری فرکانس پایین می‌گویند [۴]. مورد بعدی، کیفیت ولتاژ نقطه اتصال به شبکه (PCC) است که مستقیماً بر کارایی کنترل اینورتر تأثیر می‌گذارد. به دلیل ازدیاد بارهای غیر خطی، ولتاژ شبکه در نقطه PCC خصوصاً در شبکه‌های ضعیف تغییر شکل پیدا می‌کند. اعوجاج و نامتعادلی ولتاژ شبکه منجر به هارمونیک‌شن جریان و افزایش اعوجاج توان تزریقی می‌شود [۵] و [۶]. بنابراین GC - VSI - این این اعوجاج و حذف اختشاشات شدید و تصادفی ولتاژ را داشته باشد. این اختشاشات در اثر خطاهای شبکه، بارهای متغیر با زمان، تولیدهای غیرقابل برنامه‌ریزی و حالت گذرا ناشی از بارهای موازی و یا کلیدزنی خازنی به وجود می‌آیند [۷].

تحقیقات نشان می‌دهد اعوجاج کوچک در ولتاژ شبکه باعث افزایش THD جریان تزریقی می‌شود و در نهایت ممکن است در اثر برهم کنش بین اعوجاج ولتاژ و فیلتر مدار قدرت اینورتر، کل سیستم دچار ناپایداری گردد. بنابراین ختنی‌سازی اختشاشات یکی از مهم‌ترین خصوصیاتی است که باید در کنترلر اینورتر مدد نظر قرار گیرد [۴].

تا کنون روش‌های متعددی در سه چارچوب طبیعی، سنکرون و ساکن برای کنترل GC - VSI ارائه شده که از لحاظ محاسباتی چارچوب ساکن کمترین حجم محاسبات را دارا می‌باشد [۸]. کنترل کننده هسیتریزیس به عنوان یک کنترل کننده سریع و ساده برای حذف هارمونیک‌های فرکانس پایین جریان در هر سه چارچوب شناخته می‌شود اما داشتن فرکانس کلیدزنی متغیر و نیاز به نمونه‌برداری با فرکانس بالا از نواقص این کنترل کننده است [۹].

کنترل کننده تکراری به دلیل قابلیت جبران‌سازی اختشاشات پریویدیک، کنترل کننده بسیار مناسبی برای جبران‌سازی هارمونیک‌های جریان اختشاشی است اما این کنترل کننده دارای پاسخ گذرا و ضعیفی بوده [۱۰] و برای رفع این نقص در برخی از مقالات کنترل کننده تکراری با یک کنترل کننده سریع ترکیب شده است [۱۱]. کنترل کننده مرده‌نوش از خانواده کنترل کننده‌های پیش‌بین، یک کنترل کننده با پاسخ گذرا و سریع است که در [۱۲] و [۱۳] برای کنترل GC-VSI پیشنهاد شده اما کارایی حالت ماندگار آن تا حد زیادی وابسته به صحت مدل سازی بوده و حساس به عدم قطعیت‌های سیستم می‌باشد. کنترل کننده مد لغزشی، یک کنترل کننده ایده‌آل است که به تغییرات پارامترها حساس نبوده و قابلیت جبران‌سازی اختشاشات خارجی را دارد و پاسخ گذرای آن سریع است. با این وجود در کنترل کننده مد لغزشی انتخاب یک سطح لغزش مناسب که

چکیده: به دلیل افزایش استفاده از منابع تولید پراکنده مبتنی بر اینورتر در سیستم‌های قدرت، ارتقای کیفیت توان این اینورترها ضروری می‌باشد. در این مقاله با ارائه یک طرح کنترلی جدید، اینورتر متصل به شبکه قادر خواهد شد در تمامی حالات شبکه قدرت اعم از حالت سینوسی، حالت هارمونیکی و حالت نامتعادل، جریان سینوسی را به آن تزریق کند. طرح کنترلی پیشنهادی از دو بخش (۱) تعیین جریان مرجع سینوسی با توجه به شرایط ولتاژ شبکه و (۲) کنترل کننده جریان برای ردیابی جریان مرجع تشکیل شده است. الگوریتم تعیین مرجع جریان پیشنهادی در مقایسه با سایر الگوریتم‌ها مانند روش تبدیل پارک ساده‌تر پیاده‌سازی می‌شود و دارای پاسخ دینامیکی سریع‌تری می‌باشد. کنترل کننده جریان پیشنهادی در چارچوب ساکن اجرا شده و نیاز به استفاده از تبدیل‌های پارک و کنترل کننده‌های متعدد برای جبران‌سازی هارمونیک‌ها در چارچوب سنکرون را حذف می‌نماید. همچنین این کنترل کننده تنها نیاز به یک تغییر کنترلی دارد، بنابراین در مقایسه با دیگر روش‌های کنترل با حجم محاسباتی کمتری پیاده‌سازی عملی می‌گردد. نتایج شبیه‌سازی برای تایید کارایی طرح کنترلی پیشنهادی ارائه شده است.

کلید و وزره: اینورتر متصل به شبکه، جریان مرجع، کنترل در چارچوب ساکن، منبع تولید پراکنده.

۱- مقدمه

امروزه استفاده از اینورتر منبع ولتاژ متصل به شبکه^۱ (GC - VSI) به صورت گسترده‌ای در منابع تولید پراکنده و سیستم‌های انتقال توان با جریان مستقیم^۲ (HVDC) در حال افزایش است [۱] و [۲]. وظیفه اصلی GC-VSI تزریق جریان به شبکه قدرت است و تا کنون استانداردهای متعددی برای مشخص کردن معیارهای جریان تزریقی با توجه به شرایط شبکه قدرت تدوین شده است [۳]. طیف هارمونیکی مهم‌ترین مشخصه جریان تزریقی GC - VSI است و طبق استاندارد IEEE ۱۵۴۷، جریان تزریقی VSI - GC ها باید متعادل بوده و دارای اعوجاج هارمونیکی (THD) کمتر از ۵٪ باشد.

در اکثر کاربردها، اینورترهای متصل به شبکه به صورت جریانی استفاده می‌شوند تا امکان تزریق توان با کیفیت بالا را فراهم کنند. در این

این مقاله در تاریخ ۳۰ خرداد ماه ۱۳۹۲ دریافت و در تاریخ ۲۷ اسفند ماه ۱۳۹۲ بازنگری شد.

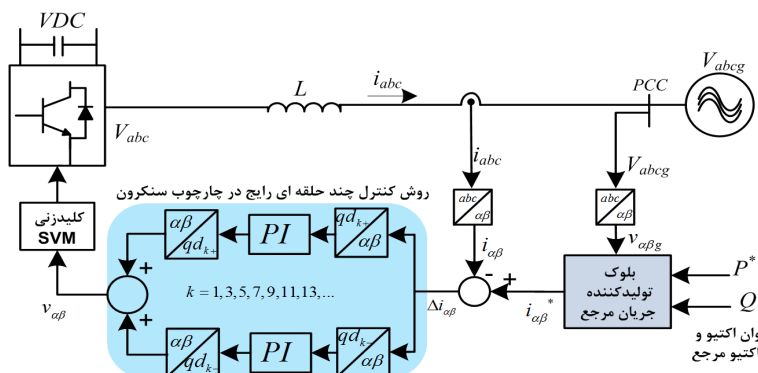
مهندی شاهپرستی، دانشکده مهندسی برق و کامپیوتر، دانشگاه تربیت مدرس، تهران، (email: mshahparasti@yahoo.com)

مصطفی محمدیان، دانشکده مهندسی برق و کامپیوتر، دانشگاه تربیت مدرس، تهران، (email: mohamadian@modares.ac.ir)

علی یزدیان ورجانی، دانشکده مهندسی برق و کامپیوتر، دانشگاه تربیت مدرس، تهران، (email: yazdian@modares.ac.ir)

1. Grid-Connected Voltage Source Inverter

2. High Voltage Direct Current



شکل ۱: ساختار اینورتر متصل به شبکه با روش کنترل چندحلقه‌ای رایج در چارچوب سنکرون.

$$T = \sqrt{\frac{2}{3}} \begin{bmatrix} 1 & -\frac{1}{2} & -\frac{1}{2} \\ 0 & \sqrt{3} & \sqrt{3} \\ -\frac{1}{2} & \frac{1}{2} & -\frac{1}{2} \end{bmatrix} \quad (2)$$

با ضرب ماتریس T در دو طرف (۱) خواهیم داشت

$$\frac{di_{\alpha\beta}}{dt} = \frac{1}{L} (v_{\alpha\beta} - v_{\alpha\beta g}) - \frac{r_L}{L} i_{\alpha\beta} \quad (3)$$

بنابراین تابع تبدیل این سیستم در چارچوب ساکن مساوی است با

$$G_p(s) = G_{p\alpha}(s) = G_{p\beta}(s) = \frac{I(s)}{V(s)} = \frac{1}{sL + r_L} \quad (4)$$

در (۴) (s) ، $G_p(s)$ و $G_{p\beta}(s)$ نشان‌دهنده تابع تبدیل VSI در چارچوب ساکن $(\alpha\beta)$ جریان خروجی در راستای α یا β است و $V(s)$ به صورت اختلاف ولتاژ اینورتر و شبکه تعریف می‌شود. با استفاده این تبدیل کنترل از چارچوب سه‌تایی به چارچوب دو‌تایی انتقال داده می‌شود.

۳- استراتژی کنترلی در چارچوب ساکن برای اینورتر سه‌فاز متصل به شبکه

در شکل ۲ طرح کنترلی رایج کنترل کننده تناسبی- انتگرالی در چارچوب سنکرون با دکوپله‌سازی محورها آمده است. در این روش مقادیر با ارجاع به چارچوب سنکرون تبدیل به مقادیر DC شده و سپس با استفاده از کنترل کننده PI پردازش می‌شوند. همان‌طور که در مقدمه مقاله اشاره شد، این روش فقط در صورتی قادر به ردیابی جریان مرجع است که ولتاژ شبکه کاملاً سینوسی و بدون اعوجاج باشد. برای شبکه‌های قدرت واقعی که ولتاژ هارمونیکی است کنترل کننده نشان داده شده در شکل ۱ مشکل از چندین کنترل کننده در فرکانس‌های متفاوت، یک انتخاب بسیار مؤثر برای کنترل جریان است. در این روش رگولاسیون جریان خروجی با اندازه‌گیری آن و مقایسه با مرجع خروجی $v_{\alpha\beta}^*$ صورت می‌پذیرد. سیگنال خطأ در چارچوب ساکن به چارچوب سنکرون با سرعت چرخش ارجاع داده می‌شود که k مساوی ± 1 ، ± 3 ، ± 5 و ± 7 و ... می‌باشد. خطأ در چارچوب سنکرون به وسیله کنترل کننده‌های تناسبی- انتگرالی پردازش شده و سپس سیگنال حاصل (ولتاژ اینورتر) به چارچوب ساکن مطابق با $v_{\alpha\beta}$ ارجاع داده می‌شود. مزیت این روش جریان‌سازی دلخواه هارمونیک‌ها است.

با کاهش نرخ نمونه‌برداری عملکردش تنزل نیابد نسبتاً پیچیده است. نقص دیگر کنترل کننده مد لغزشی و قوع پدیده تصادم در ردیابی مرجع متغیر است که منجر به کاهش بازده کلی سیستم می‌گردد [۱۴].

کنترل کننده تناسبی- انتگرالی (PR) به ترتیب در چارچوب سنکرون و ساکن از جمله پرکاربردترین روش‌ها برای کنترل GC-VSI هستند که قادر به جبران‌سازی یک هارمونیک منفرد می‌باشند [۱۵] تا [۱۷]. از آنجایی که جریان اغتشاشی GC-VSI دارای طیف وسیعی از هارمونیک‌هاست، بنابراین برای جبران‌سازی کامل آنها باید تعداد زیادی کنترل کننده با هم به صورت یک بانک کنترل کننده موازی شوند (روش کنترل چندحلقه‌ای) [۱۸] و [۱۹] و هر یک از این کنترل کننده‌ها برای جبران‌سازی یک هارمونیک تنظیم گردند. بنابراین در این روش به ازای جبران‌سازی هر فرکانس و توالی، نیاز به تنظیم حداقل یک متغیر کنترلی مجزا است. بنابراین اگر نیاز به جبران‌سازی کامل همه هارمونیک‌های خروجی جریان یا ولتاژ باشد، آن گاه تنظیم همه متغیرهای کنترلی بسیار وقت‌گیر و پیچیده بوده و همچنین از لحاظ پیاده‌سازی دیجیتال باید از پردازنده سریع استفاده شود [۱۹].

در این مقاله روش کنترل یکپارچه جدید در چارچوب ساکن با توانایی جبران‌سازی هارمونیک‌ها برای اینورتر متصل به شبکه پیشنهاد شده که از لحاظ کارایی مشابه با روش کنترل چندحلقه‌ای می‌باشد و در عین حال در یک حلقه و تنها با استفاده از یک متغیر کنترلی پیاده‌سازی می‌شود. در ادامه در بخش ۲ اینورتر متصل به شبکه در چارچوب ساکن مدل‌سازی شده و در بخش ۳ کنترل کننده پیشنهادی برای جبران‌سازی هارمونیک‌های جریان اینورتر متصل به شبکه معرفی می‌شود. در بخش ۴ کنترلر پیشنهادی برای یک سیستم نمونه طراحی شده و نتایج حاصل از شبیه‌سازی ارائه گردیده و در نهایت در بخش ۵ نتایج حاصل از این مقاله بیان خواهد شد.

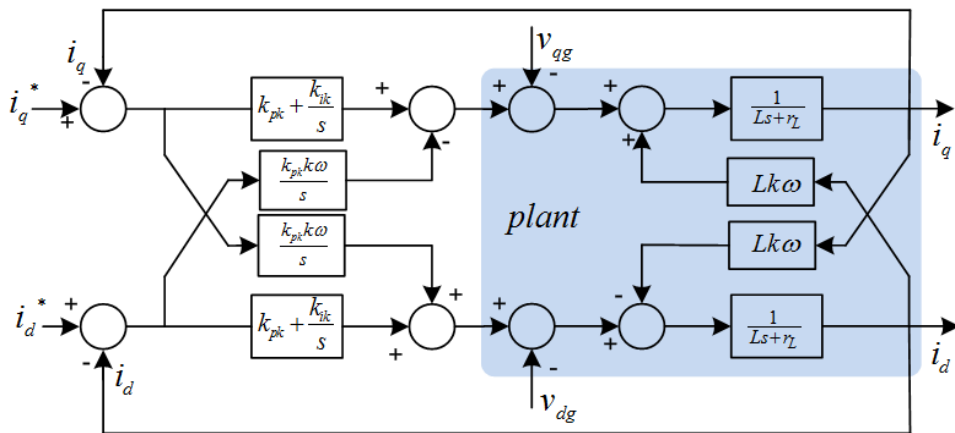
۲- مدل‌سازی GC-SVI در چارچوب ساکن

شکل ۱ اینورتر متصل به شبکه با کنترل کننده جریان را نمایش می‌دهد که اینورتر سه‌فاز از طریق سلف‌های فیلتر کننده به شبکه متصل می‌شود. از شکل ۱ معادلات VSI در چارچوب طبیعی به صورت زیر قابل بیان است

$$r_L i_{abc} + L \frac{di_{abc}}{dt} + v_{abc} - v_{abcg} = 0 \quad (1)$$

در این رابطه L و r_L به ترتیب اندوکتانس و مقاومت داخلی سلف فیلتر کننده، i_a ، i_b و i_c جریان‌های خروجی اینورتر، v_a ، v_b و v_c ولتاژهای خروجی اینورتر و v_{ag} و v_{bg} ولتاژهای فاز شبکه هستند.

ماتریس تبدیل چارچوب طبیعی به ساکن مساوی است با



شکل ۲: روش کنترل رایج در چارچوب سنکرون (۱ برای مؤلفه اصلی جریان).

$$\sum_{m=\pm 1, \pm \tau, \pm \Delta}^{\infty} \frac{k_{pm}(m\omega_e)s}{s^\tau + (m\omega_e)^\tau} = . \quad (11)$$

$$\sum_{m=\pm 1, \pm \tau, \pm \Delta}^{\infty} \frac{k_{im}(m\omega_e)}{s^\tau + (m\omega_e)^\tau} = . \quad (12)$$

$$\sum_{m=\pm 1, \pm \tau, \pm \Delta}^{\infty} k_{pm} = \gamma k_p, \frac{\pi^\tau}{\lambda} \quad (13)$$

در انتهای با جایگذاری (۹) تا (۱۳) در (۷) خواهیم داشت

$$v_\alpha^* = \left(\sum_{k=\pm odd} \frac{k_{im}s}{s^\tau + (m\omega_e)^\tau} - \sum_{k=\pm odd} \frac{k_{pm}(m\omega_e)^\tau}{s^\tau + (m\omega_e)^\tau} + \sum_{k=\pm odd} k_{pm} \right) \Delta i_\alpha + (\cdot + \cdot) \Delta i_\beta = (k_p + \frac{k_i}{s}) \times [\frac{\pi^\tau}{\lambda} - \frac{\pi\omega_e}{4s} \tanh \frac{\pi s}{2\omega_e}] \Delta i_\alpha = G(s) \Delta i_\alpha \quad (14)$$

رابطه فوق تابع تبدیل کننده پیشنهادی برای کanal α را مشخص می‌نماید و کنترل کننده کanal β مشابه با کanal α خواهد بود. همان‌طور که از روابط فوق مشخص است این کنترل کننده از لحاظ کارایی دقیقاً مشابه با روش کنترل چندحلقه‌ای در شکل ۱ است و در عین حال

نسبت به آن دارای مزایای زیر می‌باشد:

- جبران سازی تمامی هارمونیک‌های فرد با استفاده از تنها یک حلقه
- نیاز به تنها یک متغیر کنترلی
- عدم نیاز به تبدیلات پارک
- پیداهسازی ساده
- کاهش محاسبات و حجم برنامه مورد نیاز برای پیداهسازی آن
- کنترل کننده پیشنهادی در عین داشتن مزایای ذکرشده، دارای محدودیت‌های زیر نیز می‌باشد: (فوق الذکر به معنای بالاتر از بیان است)
- در این روش دیگر کنترل انفرادی هارمونیک‌ها قابل اجرا نیست.
- ضرایب کنترل کننده برای جبران سازی هارمونیک‌ها ثابت بوده و با هم رابطه دارند.

۴- طراحی کنترل کننده و شبیه‌سازی آن

۴-۱ طراحی طرح کنترلی

در این بخش این کنترل کننده برای یک سیستم متصل به شبکه نمونه طراحی و شبیه‌سازی خواهد شد. پارامترهای سیستم مد نظر در جدول ۱ درج شده و شماتیک دقیق سیستم تحت شبیه‌سازی در شکل ۳ نشان داده

در شکل ۲ برای هارمونیک k ام معادلات در چارچوب سنکرون به صورت (۵) قابل بیان است

$$\begin{bmatrix} v_{qk}^* \\ v_{dk}^* \end{bmatrix} = \begin{bmatrix} k_p + \frac{k_i}{s} & -\frac{k_p \omega_e}{s} \\ \frac{k_p \omega_e}{s} & k_p + \frac{k_i}{s} \end{bmatrix} \begin{bmatrix} \Delta i_q \\ \Delta i_d \end{bmatrix} \quad (5)$$

که ω_e فرکانس اصلی سیستم است. با ارجاع معادله فوق به چارچوب ساکن، معادله زیر حاصل خواهد شد

$$\begin{bmatrix} v_{\alpha k}^* \\ v_{\beta k}^* \end{bmatrix} = \begin{bmatrix} k_p - \frac{k_p \omega_e^\tau}{s^\tau + \omega_e^\tau} + \frac{k_i s}{s^\tau + \omega_e^\tau} & \frac{k_p \omega_e s}{s^\tau + \omega_e^\tau} + \frac{k_i s}{s^\tau + \omega_e^\tau} \\ -\frac{k_p \omega_e s}{s^\tau + \omega_e^\tau} - \frac{k_i s}{s^\tau + \omega_e^\tau} & k_p - \frac{k_p \omega_e^\tau}{s^\tau + \omega_e^\tau} + \frac{k_i s}{s^\tau + \omega_e^\tau} \end{bmatrix} \times \begin{bmatrix} \Delta i_\alpha \\ \Delta i_\beta \end{bmatrix} \quad (6)$$

با بازنویسی معادله فوق برای v_α در همه هارمونیک‌ها داریم

$$v_\alpha^* = \Delta i_\alpha \cdot \sum_{m=\pm 1, \pm \tau, \pm \Delta}^{\infty} \left(\frac{k_{im}s}{s^\tau + (m\omega_e)^\tau} - \frac{k_{pm}(m\omega_e)^\tau}{s^\tau + (m\omega_e)^\tau} + k_{pm} \right) + \Delta i_\beta \cdot \sum_{m=\pm 1, \pm \tau, \pm \Delta}^{\infty} \left(\frac{k_{pm}m\omega_e s}{s^\tau + (m\omega_e)^\tau} - \frac{k_{im}m\omega_e}{s^\tau + (m\omega_e)^\tau} \right) \quad (7)$$

حال فرض کنید ضرایب تناسبی و انتگرالی برای فرکانس‌های متفاوت رابطه زیر را با هم داشته باشند

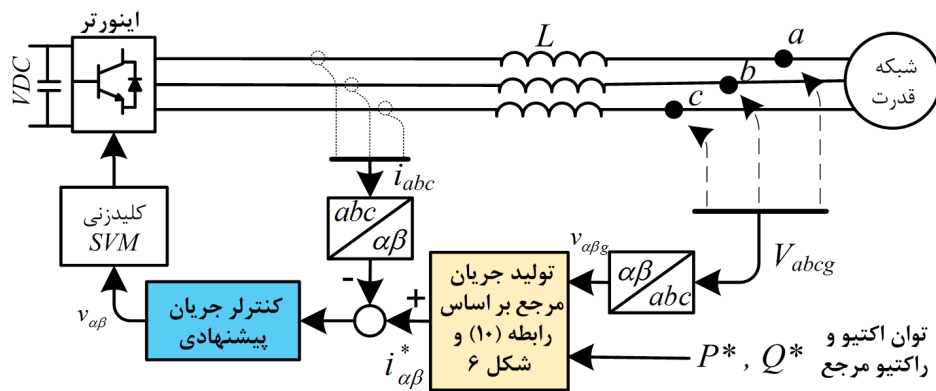
$$k_{p1} = k_{p-1} = \frac{\pi^\tau}{\lambda} k_{p+\tau} = \frac{\pi^\tau}{\lambda} k_{p-\tau} = \frac{\pi^\tau}{\lambda} k_{p+\Delta} = \frac{\pi^\tau}{\lambda} k_{p-\Delta} = \dots \quad (8)$$

$$k_{i1} = k_{i-1} = \frac{\pi^\tau}{\lambda} k_{i+\tau} = \frac{\pi^\tau}{\lambda} k_{i-\tau} = \frac{\pi^\tau}{\lambda} k_{i+\Delta} = \frac{\pi^\tau}{\lambda} k_{i-\Delta} = \dots$$

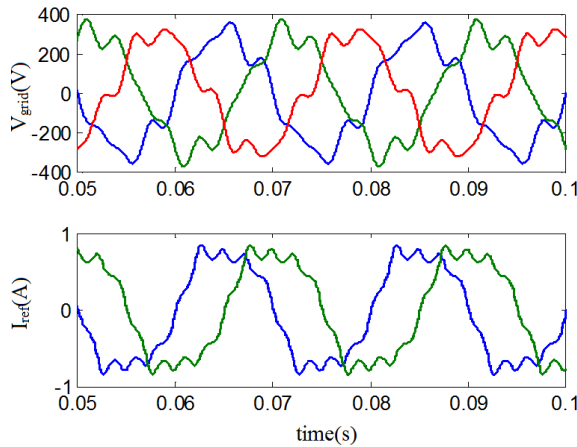
در رابطه فوق زیرنویس عددی، مرتبه هارمونیک است و مثبت و منفی به ترتیب نشان‌دهنده توالی مثبت و منفی هستند. با فرض ارائه شده در (۸) جملات اصلی در (۷) به صورت زیر ساده خواهند شد

$$\sum_{m=\pm 1, \pm \tau, \pm \Delta}^{\infty} \frac{k_{im}s}{s^\tau + (m\omega_e)^\tau} = \frac{\pi^\tau}{\lambda} \left(\frac{k_i}{s} - \frac{\pi\omega_e}{4s} \tanh \frac{\pi s}{2\omega_e} \right) \quad (9)$$

$$\sum_{m=\pm 1, \pm \tau, \pm \Delta}^{\infty} \frac{k_{pm}(m\omega_e)^\tau}{s^\tau + (m\omega_e)^\tau} = \frac{\pi^\tau}{\lambda} \left(\frac{\pi\omega_e}{4s} \tanh \frac{\pi s}{2\omega_e} \right) \quad (10)$$



شکل ۳: بلوک دیاگرام سیستم شبیه‌سازی شده.



شکل ۵: استخراج جریان مرجع با استفاده از (۱۰) در شبکه غیر سینوسی، شکل‌ها از بالا به پایین: ولتاژ شبکه و جریان مرجع در چارچوب ساکن.

در این مقاله برای حذف PLL و تبدیل پارک ابتدا جریان‌های مرجع با استفاده از (۱۵) محاسبه می‌شوند و سپس مؤلفه اصلی جریان با استفاده از روش نشان داده شده در شکل ۶ استخراج می‌شود.

برای پیداهسازی کنترل کننده ابتدا رابطه زیر را در نظر می‌گیریم

$$\tanh \frac{\pi s}{2\omega_e} = \frac{1 - e^{\frac{-\pi s}{\omega_e}}}{1 + e^{\frac{-\pi s}{\omega_e}}} = -1 + \frac{2}{1 + e^{\frac{-\pi s}{\omega_e}}} \quad (16)$$

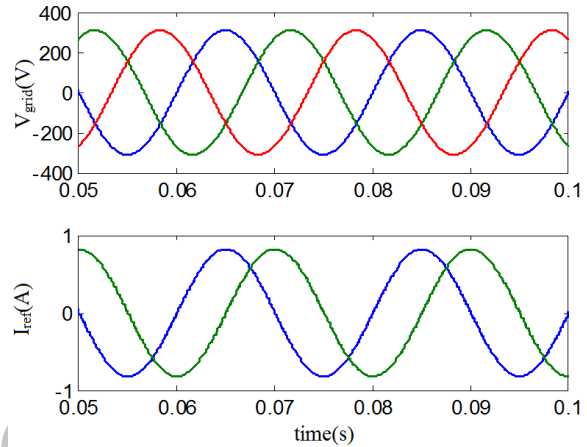
سپس بر اساس [۲۱] و [۲۲] در طراحی ضرایب تناوبی و انتگرالی یک کنترل کننده PI با دکوپله‌سازی محورهای ضرایب تناوبی و انتگرالی باید رابطه زیر را با هم داشته باشند

$$k_i = \frac{r_L}{L} k_p \quad (17)$$

با جایگذاری (۱۶) و (۱۷) در (۱۴)،تابع تبدیل کنترل کننده پیشنهادی به صورت (۱۸) ساده خواهد شد

$$G(s) = k_p \left(1 + \frac{r_L}{SL} \right) \left[\frac{\pi}{4} - \frac{\pi \omega_e}{2s} \left(-1 + \frac{2}{1 + e^{\frac{-\pi s}{\omega_e}}} \right) \right] \quad (18)$$

شماییک این کنترل کننده در شکل ۷ نشان داده شده است. در (۱۸)،تابع تبدیل $e^{-\pi s/\omega_e}$ به راحتی با استفاده از تابع تبدیل تأخیر با تأخیر $1/2f$ ثانیه پیداهسازی می‌شود (f فرکانس ولتاژ شبکه قدرت است). با توجه به بحث‌های انجام شده، برای طراحی کنترل کننده پیشنهادی تنها نیاز به طراحی و تعیین ضریب تناوبی است. قیود طراحی کنترل کننده سیستم عبارتند از [۲۳] و [۲۴]:



شکل ۴: استخراج جریان مرجع با استفاده از (۱۰) در شبکه سینوسی، شکل‌ها از بالا به پایین: ولتاژ شبکه و جریان مرجع در چارچوب ساکن.

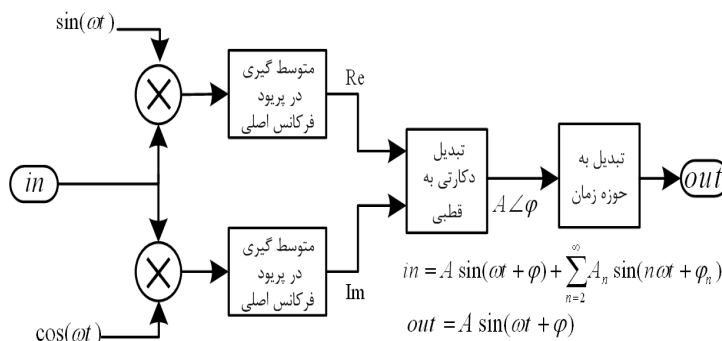
جدول ۱: پارامترهای شبکه شبیه‌سازی شده.

Description	Symbol	Value
Filter inductance	L	۵ mH
Filter resistance	r_L	۰.۰۵ Ω
Switching frequency	f_s	۲۵۰۰ Hz
Grid voltage	V_{abcg}	۳۸۰ V
Grid frequency	f	۵۰ Hz
Inverter dc voltage	V_{DC}	۷۰۰ V

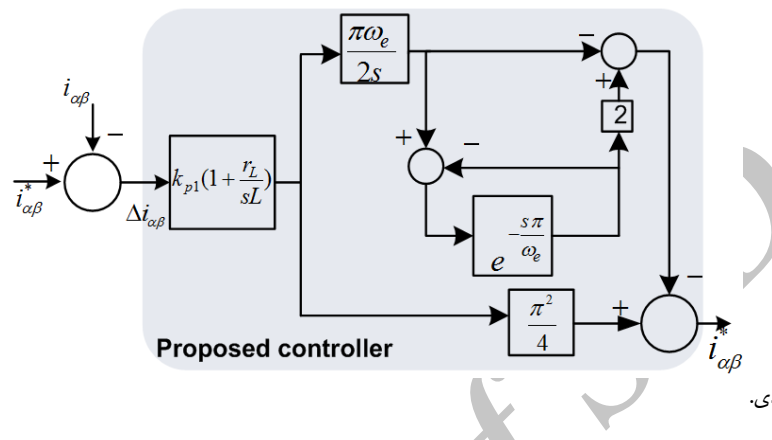
شده است. در این سیستم ابتدا جریان مرجع بر اساس ولتاژ شبکه، توان اکتیو و راکتیو مرجع تعیین می‌شود و سپس جریان مرجع با استفاده از کنترل کننده پیشنهادی ردیابی می‌شود. برای تعیین جریان مرجع می‌توان از رابطه زیر استفاده کرد

$$\begin{bmatrix} i_\alpha^* \\ i_\beta^* \end{bmatrix} = \frac{1}{\sqrt{v_{\alpha g}^2 + v_{\beta g}^2}} \begin{bmatrix} v_{\alpha g} & -v_{\beta g} \\ v_{\beta g} & v_{\alpha g} \end{bmatrix} \begin{bmatrix} P^* \\ Q^* \end{bmatrix} \quad (15)$$

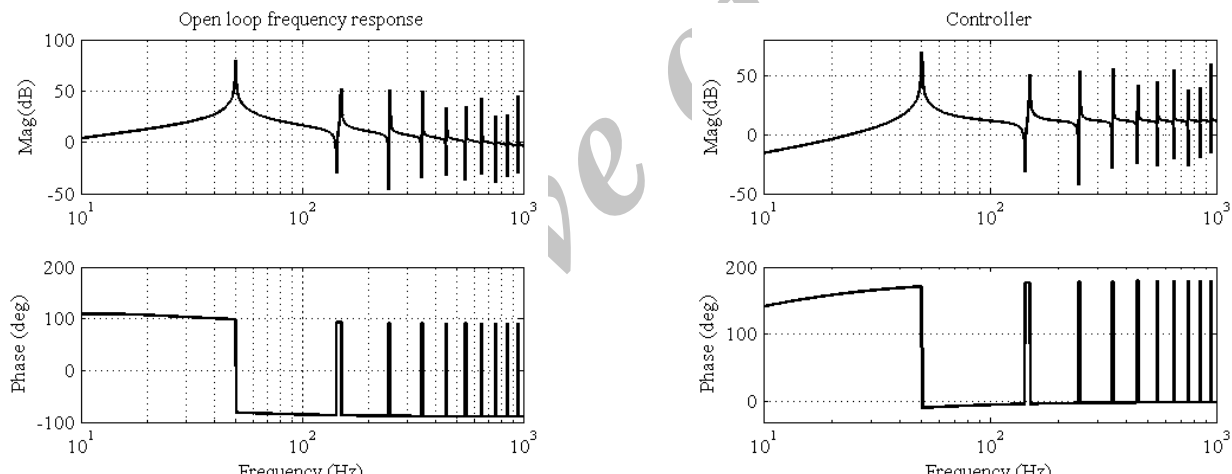
این رابطه برای شبکه‌های با ولتاژ سینوسی و ولتاژ هارمونیکی به ترتیب در شکل‌های ۴ و ۵ شبیه‌سازی شده است. طبق این شبیه‌سازی ها اگر در غیر این صورت سینوسی خالص باشد، جریان‌های مرجع نیز سینوسی خواهند بود و سینوسی [۲۰] ابتدا ولتاژ شبکه را با استفاده از یک قفل کننده حلقه فاز (PLL) و تبدیل پارک، DC نموده و سپس با استفاده از یک فیلتر پایین‌گذر مقدار متوسط ولتاژ در محور d و q را استخراج کرده و با استفاده از این مقدار متوسط ولتاژ، جریان مرجع سینوسی را ساخته است.



شکل ۶: روش استخراج جریان سینوسی مرجع از جریان هارمونیکی.



شکل ۷: ساختار کنترل کننده پیشنهادی.



شکل ۸: پاسخ فرکانسی کنترل کننده پیشنهادی.

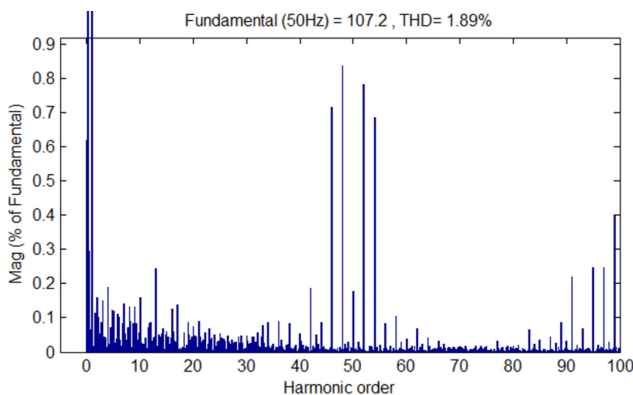
بهره پاسخ حلقه باز در فرکانس‌های پنجم و هفتم در حدود ۴۰ dB است که خطای حالت ماندگار کمتر از ۱٪ را برای حذف این هارمونیک‌ها تضمین می‌کند.

۴-۲ شبیه‌سازی و ارزیابی طرح کنترلی

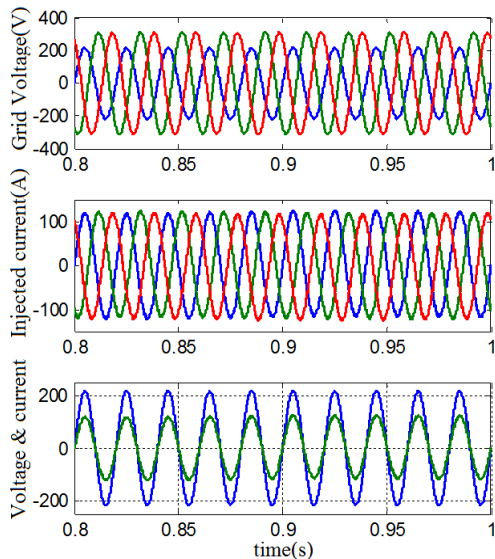
در این بخش از اینورتر برای تزریق ۵۰ کیلووات توان اکتیو با ضریب توان واحد به شبکه AC سه‌فاز سینوسی، غیر سینوسی (هارمونیکی) و نامتعادل استفاده خواهد شد. در شکل ۱۰ نتایج شبیه‌سازی برای شبکه سه‌فاز نشان شده که در آن به ترتیب از بالا به پایین شکل موج ولتاژ سه‌فاز شبکه، جریان سه‌فاز تزریقی به شبکه و ولتاژ و جریان شبکه نشان داده شده‌اند. مشاهده می‌شود به دلیل صفر بودن توان راکتیو مرجع، ولتاژ و جریان شبکه هم‌فاز هستند و همچنین جریان تزریقی نیز سینوسی می‌باشد.

- (۱) حلقه جریان باید پایدار بوده و حاشیه فاز آن بیش از ۴۵ درجه باشد.
- (۲) پهنای باند سیستم حلقه بسته باید به اندازه کافی بزرگ باشد که اغتشاشات ناشی از هارمونیک‌های ولتاژ شبکه را جبران نماید.
- ممکن‌لا پهنای باند سیستم حلقه بسته به ۰/۰۵ فرکانس کلیدزنی انتخاب می‌شود [۲۳].

بنابراین ضریب تناسبی با توجه به پهنای باند مورد نیاز انتخاب می‌شود و ضریب انتگرالی نیز طبق (۱۷) بر اساس ضریب تناسبی و پارامترهای سیستم محاسبه خواهد شد. پاسخ فرکانسی کنترل کننده پیشنهادی به ازای $k_m = 1/5$ در شکل ۸ نشان داده شده و همان طور که از پاسخ فرکانسی مشاهده می‌شود این کنترل کننده در هارمونیک‌های فرد دارای پیک است و بنابراین قادر است هارمونیک‌های فرد را جبران سازی کند. پاسخ فرکانسی سیستم حلقه باز با پارامترهای مندرج در جدول ۱ در شکل ۹ نشان داده شده و پهنای باند و حاشیه فاز سیستم به ترتیب حدود ۹۰ هرتز و ۹۰ درجه است و حاشیه بهره آن بی‌نهایت می‌باشد. همچنین



شکل ۱۳: محتوای هارمونیکی جریان تزریقی به شبکه هارمونیکی.

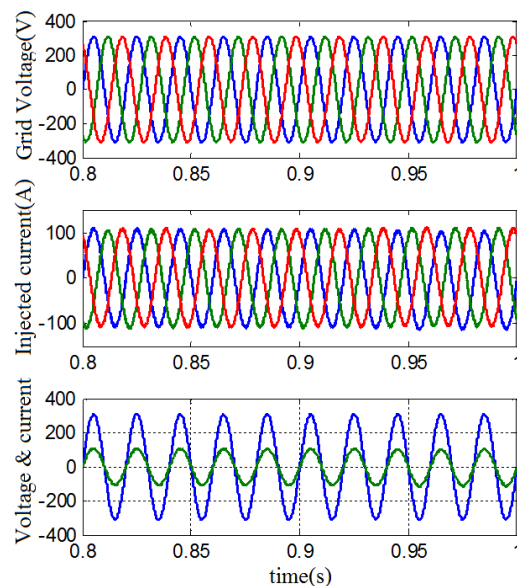


شکل ۱۴: پاسخ شبیه‌سازی برای شبکه نامتعادل، از بالا: ولتاژ شبکه، جریان تزریقی به شبکه و ولتاژ- جریان شبکه.

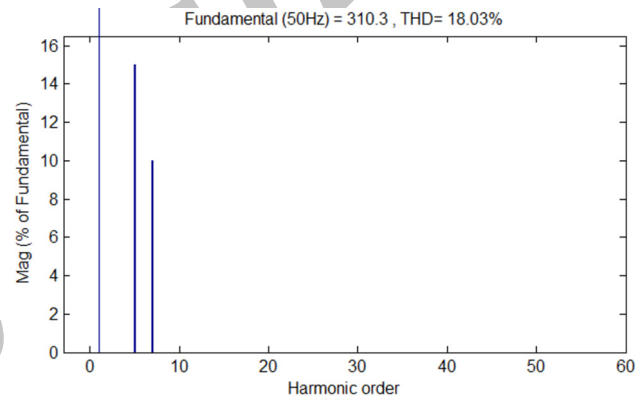
مجموع THD آن ۱۸٪ می‌باشد. نتایج شبیه‌سازی در شکل ۱۲ نشان داده‌اند، مشاهده می‌شود جریان شبکه، علی‌رغم اغتشاش در ولتاژ شبکه، سینوسی با ضریب توان واحد می‌باشد. از محتوای هارمونیکی جریان در شکل ۱۳ مشخص است دامنه همه هارمونیک‌ها کمتر از ۳٪ و THD جریان (کمتر از ۵٪) بوده و بنابراین جریان تزریقی با محدودیت‌های مطرح شده در استانداردها همخوانی دارد.

در شبکه‌های ولتاژ پایین، نامتعادلی ولتاژ یکی از شایع‌ترین وقایع است. در شکل ۱۴ ولتاژ شبکه نامتعادل و جریان تزریقی به آن نمایش داده شده که ولتاژ فاز a شبکه به اندازه ۳۰٪ نامتعادلی دارد، با این وجود طرح کنترلی پیشنهادی توانسته جریان سینوسی متعادل را به شبکه تزریق کند. برای سنجش کارایی کنترل کننده پیشنهادی در ردیابی تغییرات توان اکتیو و راکتیو مرجع، در شکل ۱۵ نتایج شبیه‌سازی به ازای تغییر توان اکتیو مرجع از ۲۵ کیلووات به ۵۰ کیلووات در $t = 0.5$ s نمایش داده شده است. همان طور که مشاهده می‌شود جریان در کمتر از یک سیکل به مقدار نهایی خود می‌رسد.

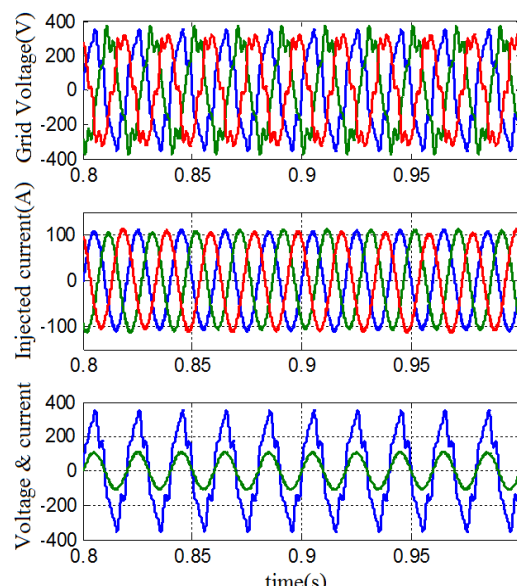
حفظ کارایی به ازای تغییر پارامترهای سیستم یکی از فاکتورهای ارزیابی یک روش کنترلی است. برای نمایش تأثیر تغییر فرکانس شبکه بر عملکرد روش پیشنهادی، در شکل ۱۶ THD جریان تزریقی به شبکه غیر سینوسی با ۱۵٪ هارمونیک پنجم و ۱۰٪ هارمونیک هفتم به ازای تغییر فرکانس شبکه نمایش داده شده و مشاهده می‌شود که THD جریان در همه فرکانس‌ها کمتر از ۵٪ است.



شکل ۱۵: نتایج شبیه‌سازی برای شبکه سینوسی، از بالا: ولتاژ شبکه، جریان تزریقی به شبکه و ولتاژ- جریان شبکه.



شکل ۱۶: محتوای هارمونیکی ولتاژ شبکه هارمونیکی.



شکل ۱۷: نتایج شبیه‌سازی برای شبکه غیر سینوسی، از بالا: ولتاژ شبکه، جریان تزریقی به شبکه و ولتاژ- جریان شبکه.

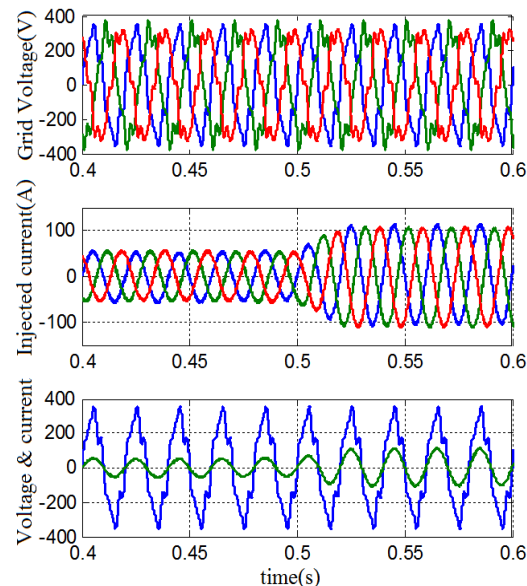
در شبیه‌سازی بعد، شبکه غیر سینوسی و آلدود به هارمونیک در نظر گرفته شده است. محتوای هارمونیکی ولتاژ شبکه مد نظر طبق شکل ۱۱ مشکل از ۱۵٪ هارمونیک پنجم و ۱۰٪ هارمونیک هفتم بوده و در

۵- نتیجه‌گیری

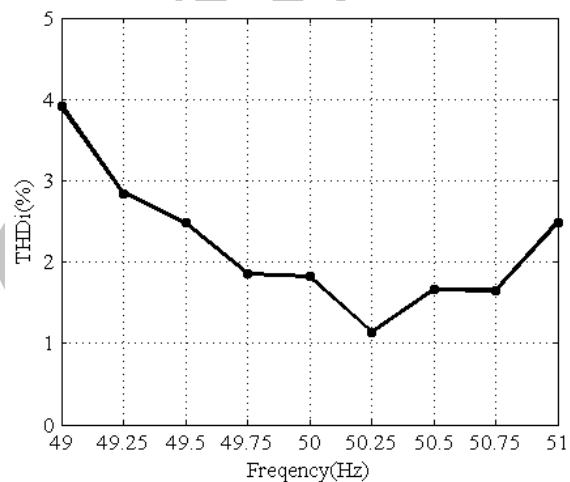
در این مقاله یک طرح کنترلی جدید برای اینورتر متصل به شبکه معرفی شد. ابتدا جریان مرجع سینوسی با استفاده از یک الگوریتم استخراج کننده سیگنال AC تعیین شده و سپس این جریان مرجع AC استفاده از کنترل کننده پیشنهادی دنبال می‌شود. کنترل کننده جریان پیشنهادی در چارچوب ساکن پیاده‌سازی شده و نیازی به تبدیلات پارک و کنترل کننده‌های متعدد برای جبران سازی هارمونیک‌ها ندارد و به راحتی با استفاده از تنها یک متغیر کنترلی پیاده‌سازی می‌شود. نتایج شبیه‌سازی‌های انجام شده مؤید این است که THD جریان تزریقی به شبکه در بدترین وضعیت‌های شبکه اعم از نامتعادلی، هارمونیکی و تغییر فرکانس همواره کمتر از ۵٪ می‌باشد.

مراجع (مرجع ۲۰ با ۱۹ یکی بود و حذف شد)

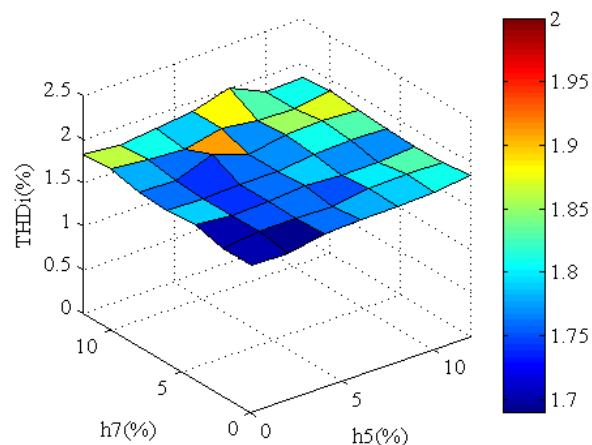
- [1] L. Shang, D. Sun, and D. Hu, "Sliding - mode - based direct power control of under unbalanced network conditions," *IET Power Electron.*, vol. 4, no.5, pp. 570-579, May 2011.
- [2] N. Flourentzou, V. G. Agelidis, and G. D. Demetriades, "VSC-based HVDC power transmission systems: an overview," *IEEE Trans. on Power Electron.*, vol. 24, no. 3, pp. 592-602, Mar. 2009.
- [3] IEEE Std 1547-2003, IEEE Standard for Interconnecting Distributed Resources with Electric Power Systems, 2003.
- [4] M. Marei, E. El - Saadany, and M. Salama, "A novel control algorithm for the DG interface to mitigate power quality problems," *IEEE Trans. Power Del.*, vol. 19, no. 3, pp. 1384-1392, Jul. 2004.
- [5] E. Twinning, "Modeling grid-connected voltage source inverter operation," in *Proc. Australasian Universities Power Engineering Conf., AUPEC'01*, pp. 501-506, 23-26 Sep. 2001.
- [6] E. Twinning and D. G. Holmes, "Grid current regulation of a three - phase voltage source inverter with an LCL input filter," *IEEE Trans. on Power Electron.*, vol. 18, no. 3, pp. 888-895, May 2003.
- [7] C. Lascu, L. Asiminoaei, I. Boldea, and F. Blaabjerg, "High performance current controller for selective harmonic compensation in active power filters," *IEEE Trans. on Power Electron.*, vol. 22, no. 5, pp. 1826-1835, Sep. 2007.
- [8] F. Blaabjerg, M. Liserre, and A. V. Timbus, "Overview of control and grid synchronization for distributed power generation systems," *IEEE Trans. on Ind. Electron.*, vol. 53, no. 5, pp. 1398-1409, Oct. 2006.
- [9] S. Buso and P. Mattavelli, *Digital Control in Power Electronics*, J. Hudgins, Ed. Morgan and Claypool Publishers, 2006.
- [10] G. Weiss, Q. Zhong, T. Green, and J. Liang, " H^∞ repetitive control of DC-AC converters in microgrids," *IEEE Trans. Power Electron.*, vol. 19, no. 1, pp. 219-230, Jan. 2004.
- [11] D. Sha, D. Wu, and X. Liao, "Analysis of a hybrid controlled three - phase grid - connected inverter with harmonics compensation in synchronous reference frame," *IET Power Electron.*, vol. 4, no. 7, pp. 743-751, Aug. 2011.
- [12] J. Allmeling, "A control structure for fast harmonics compensation in active filters," *IEEE Trans. on Power Electron.*, vol. 19, no. 2, pp. 508-514, Mar. 2004.
- [13] A. Timbus, M. Liserre, R. Teodorescu, P. Rodriguez, and F. Blaabjerg, "Evaluation of current controllers for distributed power generation systems," *IEEE Trans. on Power Electron.*, vol. 24, no. 3, pp. 654-664, Mar. 2009.
- [14] H. R. Mohammadi, A. Y. Varjani, and H. Mokhtari, "Multiconverter unified power-quality conditioning system: MC-PQC," *IEEE Trans. on Power Del.*, vol. 24, no. 3, pp. 1679-1686, Jul. 2009.
- [15] R. Kadri, J. Gaubert, and G. Champenois, "An improved maximum power point tracking for photovoltaic grid - connected inverter based on voltage - oriented control," *IEEE Trans. on Ind. Electron.*, vol. 58, no. 1, pp. 66-75, Jan. 2011.
- [16] N. Pogaku, M. Prodanovic, and T. C. Green, "Modeling, analysis, and testing of autonomous operation of an inverter-based microgrid," *IEEE Trans. on Power Electron.*, vol. 22, no. 2, pp. 613-625, Mar. 2007.
- [17] N. Ninad and L. Lopes, "Per - phase vector (dq) controlled three - phase grid-forming inverter for stand-alone systems," in *Proc. 2011 IEEE Int. Symp. on Industrial Electronics, ISIE'11*, pp. 1626-1631, 27-30 Jun. 2011.
- [18] Y. W. Li, D. M. Vilathgamuwa, and P. C. Loh, "A grid - interfacing power quality compensator for three - phase three - wire microgrid



شکل ۱۵: پاسخ روش کنترلی پیشنهادی به ازای تغییرات توان اکتیو مرجع.



شکل ۱۶: جریان تزریقی به شبکه غیر سینوسی با ۱۵٪ هارمونیک پنجم و هارمونیک هفتم به ازای تغییر فرکانس شبکه.



شکل ۱۷: جریان تزریقی به شبکه غیر سینوسی با هارمونیک‌های پنجم و هفتم.

در شکل ۱۷ اینورتر متصل به شبکه غیر سینوسی با ترکیب‌های متفاوت از هارمونیک‌های ۵ و ۷ شبیه‌سازی شده است. همان‌طور که این شکل نشان می‌دهد THD جریان تزریقی به شبکه غیر سینوسی همواره کمتر از ۲٪ است.

مهندی شاه پرستی تحصیلات خود را در مقاطعه کارشناسی از دانشگاه پیر جند در سال ۱۳۸۶ و کارشناسی ارشد خود را از دانشگاه تربیت مدرس در سال ۱۳۸۸ در رشته برق- قدرت به پایان رسانده و هم‌اکنون دانشجوی مقطع دکتری مهندسی برق- قدرت در دانشگاه تربیت مدرس می‌باشد. زمینه‌های تحقیقاتی مورد علاقه ایشان عبارتند از منابع تغذیه بدون وقفه، اینورترهای موارتی و کاربرد الکترونیک قدرت در منابع تولید پراکنده.

مصطفی محمدیان تحصیلات خود را در مقاطعه کارشناسی از دانشگاه صنعتی امیرکبیر در سال ۱۳۶۸، کارشناسی ارشد خود را از دانشکده فنی دانشگاه تهران در سال ۱۳۷۱ و مدرک دکتری خود را در سال ۱۳۷۷ از دانشگاه کلگری کانادا همگی در رشته برق- قدرت به پایان رسانده و هم‌اکنون دانشیار دانشکده مهندسی برق و کامپیوتر دانشگاه تربیت مدرس است. زمینه‌های تحقیقاتی مورد علاقه وی عبارتند از منابع تغذیه بدون وقفه، کنترل ماشین‌های الکتریکی، کاربرد DSP در الکترونیک قدرت و کاربرد الکترونیک قدرت در ادوات پراکنده.

علی یزدانی ورجانی تحصیلات خود را در مقاطعه کارشناسی مهندسی برق از دانشگاه صنعتی شریف در سال ۱۳۶۸ به اتمام رساند. ایشان مدرک کارشناسی ارشد و دکترای خود را در رشته مهندسی برق از دانشگاه ولنگونگ استرالیا به ترتیب در سال‌های ۱۳۷۳ و ۱۳۷۷ دریافت کرد و هم‌اکنون استادیار دانشکده مهندسی برق و کامپیوتر دانشگاه تربیت مدرس است. زمینه‌های تحقیقاتی مورد علاقه ایشان عبارتند از طراحی و کنترل ادوات FACTS، کیفیت توان، حفاظت شبکه‌های قدرت و امنیت اطلاعات.

applications," *IEEE Trans. on Power Electron.*, vol. 21, no. 4, pp. 1021-1031, Jul. 2006.

[19] C. Lascu, L. Asiminoaei, I. Boldea, and F. Blaabjerg, "Frequency response analysis of current controllers for selective harmonic compensation in active power filters," *IEEE Trans. on Ind. Electron.*, vol. 56, no. 2, pp. 337-347, Feb. 2009.

[20] M. Kale and E. Ozdemir, "Harmonic and reactive power compensation with shunt active power filter under non-ideal mains voltage," *Electric Power on Systems Research*, vol. 74, no. 3, pp. 363-370, Jun. 2005.

[21] F. Briz, M. Degner, and R. Lorenz, "Analysis and design of current regulators using complex vectors," *IEEE Trans. on Ind. Appl.*, vol. 36, no. 3, pp. 817-825, May 2000.

[22] X. Guo and W. Wu, "Improved current regulation of three-phase grid-connected voltage-source inverters for distributed generation systems," *IET Renewable Power Generation*, vol. 4, no. 2, pp. 101-115, Mar. 2010.

[23] M. Liserre, A. Dell'Aquila, and F. Blaabjerg, "Design and control of a three-phase active rectifier under non-ideal operating conditions," in *Proc. 37th IAS Annual Meeting Industry Applications Conf.*, vol. 2, pp. 1181-1188, Oct. 2002.

[24] M. Liserre, F. Blaabjerg, and R. Teodorescu, "Grid impedance estimation via excitation of LCL-filter resonance," *IEEE Trans. on Ind. Appl.*, vol. 43, no. 5, pp. 1401-1407, Sep./Oct. 2007.